

IBM4 中的强耦合 $SU(3)$ 极限

李光华

(长沙水电师院物理系, 410077)

孙洪洲

(清华大学物理系, 北京 100084)

韩其智

(北京大学物理系, 100871)

李先胤

(安徽大学物理系, 合肥 230039)

摘要

将 IBM 推广应用于轻核时叫 IBM4。本文讨论了其中的下述群链。

$$\begin{aligned} U(36) &\supset U_6(sd) \times U_6(ST) \supset SU_3(sd) \times SU_3(S) \times SU_3(T) \\ &\supset SU_3(sdS) \times SU_3(T) \supset O_3(J) \times O_3(T) \end{aligned}$$

的约化、典型能谱与 $E2$ 跃迁，并用它对 sd 壳的核基态进行了分类。

一、引言

在轻核中，由于质子与中子处于同一壳，必须引入同位旋，将 IBM 推广应用于轻核就叫 IBM4^[1]。在 IBM4 中，将价核子对看成是玻色子，其轨道角动量 $l = 0$ 或 2 ，自旋 s 与同位旋 τ 的组合为 $s = 0, \tau = 1$ 或 $s = 1, \tau = 0$ ，体系的最大对称性群是 $U(36)$ 。它有七条可能的群链，我们已研究了其中的 $O(6)^{[2]}$ 、 $U(5)$ 与 $SU(3)^{[3]}$ 极限，在 $O(6)$ 极限中我们得到了偶偶核与奇奇核在一个多重态中的例子^[4]。本文研究其中的下述群链

$$\begin{aligned} U(36) &\supset U_6(sd) \times U_6(ST) \supset SU_3(sd) \times SU_3(S) \times SU_3(T) \\ &\supset SU_3(sdS) \times SU_3(T) \supset O_3(J) \times O_3(T), \end{aligned} \tag{1}$$

它叫强耦合 $SU(3)$ 极限。

二、约化规则与典型能谱

对于一个具有 n 个玻色子的体系， $U(36)$ 的不可约表示是全对称表示 $\{n\}$ 。
 $U(36) \supset$

$U_6(sd) \times U_6(ST)$ 的约化为

$$\{n\} = \sum_{\nu} [\nu]_{U_6(sd)} \times [\nu]_{U_6(ST)}, \quad (2)$$

其中 ν 是 n 的一个配分, 其部份数不超过 6.

$SU_3(sd) \times SU_3(S) \supset SU_3(sdS)$ 的约化为

$$\begin{aligned} & (\lambda_1, \mu_1) \times (\lambda_2, \mu_2) \\ &= \sum_{k=0}^{(\lambda_1, \lambda_2)} \sum_{l=0}^{\{\mu_1, \lambda_2 - k\}} \sum_{m=0}^{\{\lambda_1 + \lambda_2 - k - s + m + (\lambda_2 - k - l)\delta_{\lambda_2, l}\delta_{m, l}\}} \\ & \quad (\lambda_1 + \mu_2 + k - l + 2(\lambda_2 - k - l)\delta_{\lambda_2, l} - 2m - 2(\lambda_2 - k - l)\delta_{\lambda_2, l}\delta_{m, l}) \\ & \quad + \sum_{k=1}^{(\lambda_1, \lambda_2)} \sum_{j=1}^{\{\lambda_1, \mu_2, \mu_1 + \lambda_1 - \lambda_2\}} \sum_{m=0}^{\{\lambda_1 - k + m, \mu_1 + \mu_2 - \lambda_2 + 2k - 2m - 3j\}} \\ & \quad + \sum_{k=1}^{\{\mu_2 - k, \mu_1 + \lambda_2\}} \sum_{l=0}^{\{\mu_2 - k - l, \mu_1 + \lambda_2 - 2l\}} \sum_{m=0}^{\{\lambda_1 - \lambda_2 - k + m, \mu_1 + \mu_2 + \lambda_2 - k - 3l - 2m\}}. \end{aligned} \quad (3)$$

其中

$$s = \begin{cases} l, & k = 0; \\ k + l, & l = \mu_1; \\ \{\lambda_2, k + l\}, & k, l \text{ 为其他值.} \end{cases} \quad (4)$$

$$t = \{\mu_2, \mu_1 + k - l\}, \quad r = \{\mu_2 - j, \mu_1 + 2k - \lambda_2 + 2j\}, \quad (5)$$

$\{\alpha_1, \alpha_2\}$ 或 $\{\alpha_1, \alpha_2, \alpha_3\}$ 表示取 α_1 与 α_2 或 α_1, α_2 与 α_3 中之小者. 关于群链(1)的生成元及其他约化规则见文献[4].

由于考虑了同位旋, 因此具有相同玻色子数的偶偶核与奇奇核形成一个多重态. 表中我们给出了 sd 壳核按玻色子数 n 与基态同位旋 T 的分类.

表 1 sd 壳核的分类

$T \backslash n$	1	2	3	4	5	6
0	${}^{18}\text{F}$	${}^{20}\text{Ne}$	${}^{22}\text{Na}$	${}^{24}\text{Mg}$	${}^{26}\text{Al}$	${}^{28}\text{Si}$
1	${}^{18}\text{O}, {}^{18}\text{Ne}$	${}^{20}\text{F}, {}^{20}\text{Na}$	${}^{22}\text{Ne}, {}^{22}\text{Mg}$	${}^{24}\text{Na}, {}^{24}\text{Al}$	${}^{26}\text{Mg}, {}^{26}\text{Si}$	${}^{28}\text{Al}, {}^{28}\text{P}$
2	${}^{18}\text{N}$	${}^{20}\text{O}$	${}^{22}\text{F}$	${}^{24}\text{Ne}$	${}^{26}\text{Na}$	${}^{28}\text{Mg}$

$T \backslash \bar{n}$	1	2	3	4	5
0	${}^{38}\text{K}$	${}^{36}\text{Ar}$	${}^{34}\text{Cl}$	${}^{32}\text{S}$	${}^{30}\text{P}$
1	${}^{38}\text{Ar}, {}^{38}\text{Ca}$	${}^{36}\text{Cl}, {}^{36}\text{K}$	${}^{34}\text{S}, {}^{34}\text{Ar}$	${}^{32}\text{P}, {}^{32}\text{Cl}$	${}^{30}\text{Si}, {}^{30}\text{S}$
2	${}^{38}\text{Cl}$	${}^{36}\text{S}$	${}^{34}\text{P}$	${}^{32}\text{Si}$	${}^{30}\text{Al}$

由实验数据^[5]知偶偶核的基本角动量为 $J^\pi = 0^+$, 对于奇奇核, 有很低的 $J^\pi = 1^+$ 态. 在群链(1)中, $U_6(ST) \supset SU_3(S) \times SU_3(T)$ 的约化为 $[n, 0] = (n, 0) \times (0, 0) + (n-1, 0)$

$\times (1, 0) + \dots$ 。对于 $SU_3(sd) \times SU_3(S) \supseteq SU_3(sdS)$,

$$\text{当 } T=0 \text{ 时, } (2n, 0) \times (n, 0) = (3n, 0) + (3n-2, 1) + \dots \quad (6)$$

$$\text{当 } T=1 \text{ 时, } (2n, 0) \times (n-1, 0) = (3n-1, 0) + (3n-3, 1) + \dots \quad (7)$$

对于 $SU_3(sdS) \supseteq O_3(J)$ 的约化, 当玻色子数 n 为偶数时, $T=0$ 有 $(3n, 0) = 0 + 2 + 4 + \dots + 3n$, 对应于偶偶核; $T=1$ 有 $(3n-1, 0) = 1 + 3 + 5 + \dots + (3n-1)$, 对应于奇奇核。当 n 为奇数时, 正好相反, $T=0$ 是奇奇核, $T=1$ 是偶偶核, 这正是表中所显示的情况。

仅含一体和二体玻色子相互作用项的哈密顿量, 可以用群链(1)的 Casimir 算子表示为

$$H = \varepsilon_0 C_{1U(36)} + A C_{2U_6(sd)} + B C_{2SU_3(sd)} + \alpha C_{2SU_3(S)} \\ + \beta C_{2SU_3(sdS)} + \gamma C_{2SO_3(J)} + \alpha' C_{2SU_3(T)} + \delta C_{2SO_3(T)}. \quad (8)$$

对于 $T=0$ 的低能态, 只需考虑属于 $SU_3(sd)$ 的不可约表示 $(\lambda_1 \mu_1) = (2n, 0)$ 与 $SU_3(S)$ 的不可约表示 $(\lambda_2 \mu_2) = (n, 0)$ 的态。这时能量本征值为

$$E = E_0 + \beta[\lambda^2 + \mu^2 + \lambda\mu + 3(\lambda + \mu)] \\ + \gamma J(J+1). \quad (9)$$

对于 $T=1$ 的低能态, 只需考虑属于 $SU_3(sd)$ 的不可约表示 $(\lambda_1 \mu_1) = (2n, 0)$ 与 $SU_3(S)$ 的不可约表示 $(\lambda_2 \mu_2) = (n-1, 0)$ 的态。这时能量本征值为

$$E = E'_0 + \beta[\lambda^2 + \mu^2 + \lambda\mu + 3(\lambda + \mu)] \\ + \gamma J(J+1). \quad (10)$$

当 $n=4$ 时, 利用(9)式与(10)式可以分别算出基态同位旋 $T=0$ 的偶偶核(图 a, $E_0 = 18.9$ MeV, $\beta = -0.105$ MeV, $\gamma = 0.174$ MeV)与 $T=1$ 的奇奇核(图 b, $E'_0 = 15.822$ MeV)的典型能谱。

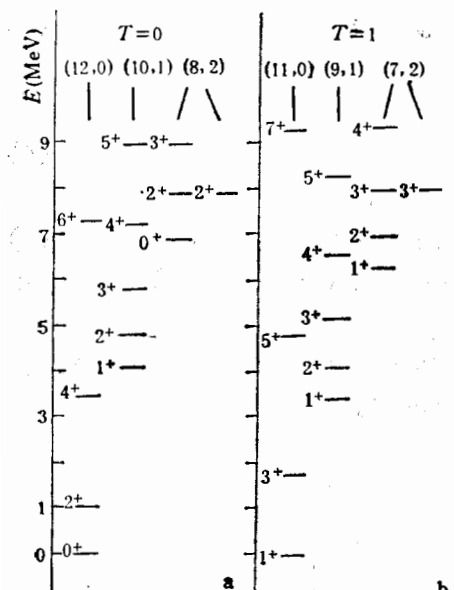


图 1 $n=4$ 的典型能谱
(圆括号内的数是 λ 与 μ 的值)

三、E2 跃迁

按群链(1)分类的 IBM4 的波函数为

$$\left| U(36) \ U_6(sd) \ SU_3(sd) \ SU_3(S) \ SU_3(sdS) \ SO_3(J) \ SU_3(T) \ SO_3(T) \right\rangle, \quad (11)$$

$$\left| \{n\} [n_1, \dots, n_6] \xi(\lambda_1 \mu_1)(\lambda_2 \mu_2)(\lambda \mu) K J (\lambda_3 \mu_3) T \right\rangle,$$

其中 ξ 与 K 是附加量子数。波函数(11)是 $C_{1U(36)}$ 、 $C_{2U_6(sd)}$ 、 $C_{2SU_3(sd)}$ 、 $C_{2SU_3(S)}$ 、 $C_{2SU_3(sdS)}$ 、 $C_{2SO_3(J)}$ 、 $C_{2SU_3(T)}$ 与 $C_{2SO_3(T)}$ 的共同本征函数。

在强耦合 $SU(3)$ 极限下, $E2$ 跃迁算符取为

$$T(E2)_q = e_2 O_q = e_2 \left[Q_q + \sqrt{\frac{3}{4}} B(1010)_{q0}^{20} \right], \quad (12)$$

即 $T(E2)_q$ 正比于 $SU_3(sdS)$ 群的无穷小生成元 O_q , e_2 相当于有效电荷。由于 O_q 是由 $U(36)、U_6(sd)、SU_3(sd)、SU_3(S)$ 与 $SU_3(sdS)$ 的生成元构成的, 又由于

$$\begin{aligned} [B(l, l')^L_M, B(sr, s'r')^S_T] &= 0, \\ [B(1010)^S_M, B(0101)^T_T] &= 0 \end{aligned} \quad (13)$$

故

$$\begin{aligned} &\langle \{n\}[n_1, \dots, n_6](\lambda_1\mu_1)(\lambda_2\mu_2)(\lambda\mu)KJ; (\lambda_3\mu_3)T | \\ &T(E2)|\{n\}[n'_1, \dots, n'_6](\lambda'_1\mu'_1)(\lambda'_2\mu'_2)(\lambda'\mu')K'J'; (\lambda'_3\mu'_3)T' \rangle \\ &= \delta_{n_1, \dots, n_6}^{n'_1, \dots, n'_6} \delta_{\lambda_1\mu_1}^{\lambda'_1\mu'_1} \delta_{\lambda_2\mu_2}^{\lambda'_2\mu'_2} \delta_{\lambda\mu}^{\lambda'\mu'} \delta_{\lambda_3\mu_3}^{\lambda'_3\mu'_3} \delta_T^{T'} \\ &\cdot \langle \{n\}[n_1, \dots, n_6](\lambda_1\mu_1)(\lambda_2\mu_2)(\lambda\mu)KJ; (\lambda_3\mu_3)T | \\ &T(E2)|\{n\}[n'_1, \dots, n'_6](\lambda'_1\mu'_1)(\lambda'_2\mu'_2)(\lambda'\mu')K'J'; (\lambda'_3\mu'_3)T' \rangle, \end{aligned} \quad (14)$$

于是得到选择定则

$$\Delta\lambda = 0, \Delta\mu = 0 \text{ 和 } \Delta T = 0. \quad (15)$$

前者表明属于 $SU(3)$ 不同的不可约表示的带之间的跃迁是禁戒的, 后者表示不同的同位旋态之间的跃迁也是禁戒的。利用 Elliott 波函数 $\psi((\lambda\mu)KJM)^{(6)}$, 得到 O_q 的约化矩阵元为

$$\begin{aligned} &\langle \psi(\lambda\mu)KJ|0|\psi(\lambda\mu)KJ' \rangle \\ &= -\frac{2J'+1}{(2J+1)^{1/2}} \cdot \frac{C(KJ)}{C(KJ')} \langle J'K, 20|JK \rangle \left[2\lambda + \mu + 3 + \frac{1}{2}J(J+1) \right. \\ &\quad \left. - \frac{1}{2}J'(J'+1) \right] + \sum_{\pm} \frac{2J'+1}{(2J+1)^{1/2}} \cdot \frac{C(K\pm 2, J)}{C(K, J')} \langle J'K, 2\pm 2|JK\pm 2 \rangle \\ &\quad \times \left[\frac{3(2\Lambda\mp K)(2\Lambda\pm K+2)}{2} \right]^{1/2} \\ &\quad \cdot \langle \psi(\lambda\mu)KJM|\psi(\lambda\mu)K\pm 2JM \rangle, \end{aligned} \quad (16)$$

其中 Elliott 系数 $C(K, J)$ 定义为^[7,8]

$$a(K, J) = b(K)C(K, J), \quad (17)$$

$$b(K) = e^{-\frac{i}{2}\mu\pi} \left\{ \frac{\mu!}{2^\mu \left(\frac{1}{2}\mu - \frac{1}{2}K \right)! \left(\frac{1}{2}\mu + \frac{1}{2}K \right)!} \right\}^{1/2}, \quad (18)$$

对于任意的 λ 值, Vergados^[9] 给出了系数 $a(K, J)$ 的表达式。

当 $T = 0$ 时, 对于基带 $(3n, 0)$, 我们得到

$$B(E2, J+2 \rightarrow J) = \frac{6(J+1)(J+2)(3n-J)(3n+J+3)}{(2J+3)(2J+5)} e_2^2, \quad (19)$$

对于 $(3n-2, 1)$ 带, 当 $3n-J =$ 偶数时, 有

$$\begin{aligned} B(E2, J+1 \rightarrow J) &= \frac{108n^2}{(J+1)(2J+3)} \cdot \frac{(3n+J)!!}{(3n+J-1)!!} \\ &\cdot \frac{(3n-J-3)!!}{(3n-J-2)!!} e_2^2, \end{aligned} \quad (20)$$

$$B(E2, J+2 \rightarrow J) = \frac{6J(J+3)(3n-J-2)(3n+J+1)}{(2J+3)(2J+5)} e_2^2. \quad (21)$$

当 $3n - J =$ 奇数时, 有

$$B(E2, J+1 \rightarrow J) = \frac{12(3n-J-1)}{(J+1)(2J+3)} \cdot \frac{(3n+J+1)!!}{(3n+J)!!} \cdot \frac{(3n-J-2)!!}{(3n-J-3)!!} e_2^2, \quad (22)$$

$$B(E2, J+2 \rightarrow J) = \frac{6J(J+3)(3n-J-1)(3n+J+2)}{(2J+3)(2J+5)} e_2^2. \quad (23)$$

当 $T = 1$ 时, 对于基带 $(3n-1, 0)$ 有

$$B(E2, J+2 \rightarrow J) = \frac{6(J+1)(J+2)(3n-J-1)(3n+J+2)}{(2J+3)(2J+5)} e_2^2. \quad (24)$$

对于 $(3n-3, 1)$ 带, 当 $3n - J =$ 偶数时, 有

$$B(E2, J+1 \rightarrow J) = \frac{12(3n-J-2)}{(J+1)(2J+3)} \cdot \frac{(3n+J)!!}{(3n-J-4)!!} \cdot \frac{(3n-J-3)!!}{(3n+J-1)!!} e_2^2, \quad (25)$$

$$B(E2, J+2 \rightarrow J) = \frac{6J(J+3)(3n-J-2)(3n+J+1)}{(2J+3)(2J+5)} e_2^2. \quad (26)$$

当 $3n - J =$ 奇数时, 有

$$B(E2, J+1 \rightarrow J) = \frac{12(3n-1)^2}{(J+1)(2J+3)} \cdot \frac{(3n+J-1)!!}{(3n-J+1)!!} \cdot \frac{(3n-J)!!}{(3n+J-2)!!} e_2^2, \quad (27)$$

$$B(E2, J+2 \rightarrow J) = \frac{6J(J+3)(3n-J-3)(3n+J)}{(2J+3)(2J+5)} e_2^2. \quad (28)$$

四、讨 论

由 $n = 4$ 的典型能谱图可以看出, 对于偶偶核, 除了基带 $(12, 0)$ ($J^\pi = 0^+, 2^+$, $4^+, \dots$) 外, 还有 $(10, 1)$ 带 ($J^\pi = 1^+, 2^+, 3^+, \dots$), 它的出现是 sd 空间与 s 空间耦合的结果, 这正是强耦合 $SU(3)$ 极限的特征之一。在轻核中, 虽然我们还没有找到强耦合 $SU(3)$ 极限的典型例子, 但讨论这一极限, 将有助于了解轻核中存在的近似对称性。对于轻核, 一般需要用数值方法将哈密顿量对角化来处理。

参 考 文 献

- [1] P. Hulse, J. P. Elliott and J. A. Evans, *Nucl. Phys.*, **A417**(1984), 301.
- [2] Li Guanghua, Sun Hongzhou, Han Qizhi *Commun. in Theor. Phys.*, **7**(1987), 303.
- [3] 李光华, 长沙水电学院学报(自然科学版) **2**, 1(1987), 9; **2**, 2(1987), 9.
- [4] Han Qizhi, Sun Hongzhou, Li Cuanghua, *Phys. Rev.*, **C35**(1987), 786.
- [5] P. M. Endt, C. Van der leun, *Nucl. Phys.*, **A310**(1978), 1.
- [6] J. P. Elliott, *Proc. Roy. Soc.*, **A245**(1958), 562.
- [7] 曾谨言, 孙洪洲, 原子核结构理论, 上海科技出版社, 1987, p. 242
- [8] J. P. Elliott, M. Harvey, *Proc. Roy. Soc.*, **A272**(1963), 557.

[9] J. D. Vergados, *Nucl. Phys.*, A111(1968), 581.

The Strong Coupling $SU(3)$ Limit in IBM4

Li GUANGHUA

(Changsha Normal University of Water Resources and Electric Power, 410077)

SUN HONGZHOU

(Tsinghua University, Beijing 100084)

HAN QIZHI

(Beijing University, 100871)

LI XIANYIN

(Anhui University, Hefei 230039)

ABSTRACT

When the IBM is generalized and used to the case of light nuclei, it is called IBM4. In this paper, for the following group chain of the IBM4

$$\begin{aligned} U(36) &\supset U_6(sd) \times U_6(ST) \supset SU_3(sd) \times SU_3(S) \times SU_3(T) \\ &\supset SU_3(sdS) \times SU_3(T) \supset O_3(J) \times O_3(T) \end{aligned}$$

the reduction rules, typical energy spectra and E2 transitions are discussed. Using this strong coupling $SU(3)$ limit, the nuclei in sd shell are classified.